

# تأثیر زبری سطح روی الگوی توزیع سرعت سیال درون شکستگی سنگی

هرتضی جوادی اصطهباناتی (دانشجوی دکتوی)

مصطفی شریفزاده (دانشیار)

کورش شهریار (استاد)

دانشکده‌ی هندسی معدن و مالوژی

مجتبی مهرجویی (کارشناس ارشد)

دانشکده‌ی هندسی مکانیک، دانشگاه صنعتی آبرکیرو

شکستگی‌ها در توده‌سنگ مسیرهای اصلی جریان‌اند و به عنوان عارضه‌یی مهم در رفتار هیدرولیکی توده‌سنگ مطرح می‌شوند. خواص هیدرولیکی توده‌سنگ در فعالیت‌های عمرانی، معدنی و محیط زیستی – نظیر دفن زباله‌های خط‌رانک و باطله فعالیت‌های هسته‌ای، نفت و انرژی زمین‌دما (ژوترمال) – اهمیت زیادی دارد. در این پژوهش جریان آشفته‌ی سیال یک فازی درون یک شکستگی سه‌بعدی با استفاده از روش حجم محدود و برای یازده سریعی از سرعت ورودی جریان شبیه‌سازی شده است. تعدادی مقاطع قائم و افقی در دامنه‌ی هندسی شکستگی در نظر گرفته شده و مقادیر سرعت بی‌بعد روی هریک از مقاطع و برای سرعت‌های ورودی مختلف محاسبه شده‌اند. این مقادیر، پس از مقایسه، برای ارزیابی تأثیر زبری دیواره‌ی شکستگی روی دامنه‌ی سرعت متوسط مورد استفاده قرار گرفته‌اند. نتایج این بررسی‌ها نشان می‌دهد که با افزایش سرعت ورودی، پروفیل (نیم‌چ) سرعت نامتقارن‌تر شده و به سمت دیواره با زبری کم‌تر چوله‌می‌شود. همچنین با افزایش سرعت ورودی جریان، آرایش جدیدی از جریان هدایت شده (کاتالیزه) مشاهده می‌شود و از نواحی با دهانه‌ی کوچک‌تر دبی جریان (دبی بعدشده) بیشتری نسبت به نواحی با دهانه‌ی بزرگ‌تر عبور می‌کند.

ttscopo@aut.ac.ir  
sharifzadeh@aut.ac.ir  
k.shahriar@aut.ac.ir

واژگان کلیدی: جریان آشفته، شبیه‌سازی جریان، شکستگی سنگی، زبری، الگوی توزیع سرعت.

## ۱. مقدمه

با استفاده از مفهوم «دهانه‌ی مؤثر» بیان می‌شود. دهانه‌ی مؤثر فقط برای شکستگی با دیواره‌های موازی غیرصفحه‌یی برقرار است که تأثیر انحنای جریان را لحاظ نمی‌کند و درنتیجه مفهوم دهانه‌ی هیدرولیک برای شکستگی‌ها با سطح زبر مطرح شد.<sup>[۱-۵]</sup>

با پیشرفت توان محاسباتی، روش‌های عددی حل معادلات جریان برای بررسی رفتار هیدرولیک شکستگی مطرح شد و درین آنها، از معادله‌ی رینولدز به طور گستردۀ برای بیان رفتار هیدرولیک شکستگی با دیواره‌های زبر استفاده شده است. این معادله که محققین مختلفی اعتبار آن را بررسی کرده‌اند<sup>[۶-۱۰]</sup> فقط برای جریان آرام در شکستگی معتبر است و نیازمند شرایط خاص هندسی و سینماتیکی از شکستگی و جریان سیال است.<sup>[۱۱-۱۷]</sup> معادله‌ی رینولدز برای مقادیر بزرگ عدد رینولدز و نیز برای شکستگی با دیواره‌های خیلی زبر و تغییرات ناگهانی دهانه مناسب نیست. به همین علت در مطالعات اخیر برای بررسی جریان سیال در شکستگی، از حل

در بسیاری از ساختارهای زمین‌شناسی، نفوذپذیری ماتریکس (زمینه) سنگی در مقایسه با نفوذپذیری شکستگی‌های موجود در توده‌سنگ بسیار ناچیز است. در این حالت رفتار هیدرولیک توده‌سنگ به‌وسیله‌ی شکستگی‌ها کنترل می‌شود؛ برآورده این رفتار نیازمند فهم مناسبی از رفتار هیدرولیک شکستگی و شبکه‌ی شکستگی‌ها است. رفتار جریان سیال درون شکستگی به‌دلیل افزایش کارایی مطالعات طراحی، اجرا و اینمنی سازه‌های زیرزمینی و رو باز به عنوان یک موضوع مهم تحقیقاتی مطرح می‌شود.

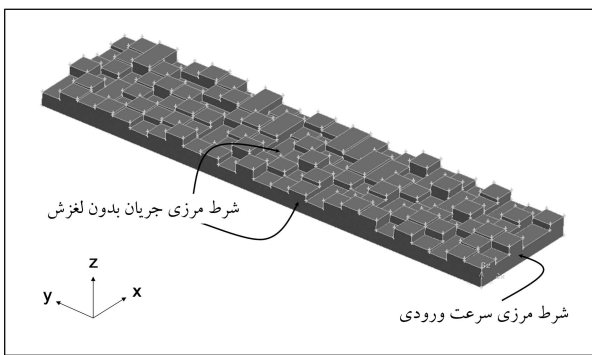
برای بررسی رفتار جریان در شکستگی از رابطه‌ی مکعب استفاده‌ی گستردگی شده است. به‌دلیل شرایط هندسی ایده‌آل مورد استفاده در این رابطه، محققین مختلف از نیم‌چ‌های هندسی با دیواره‌های موازی غیرصفحه‌یی مثل دندانه‌ی اربی<sup>[۱۸-۲۰]</sup> سینوسی<sup>[۲۱]</sup> و پله‌یی<sup>[۲۲]</sup> استفاده کرده‌اند که در این حالت رفتار هیدرولیک شکستگی

### ۳. شبیه‌سازی عددی

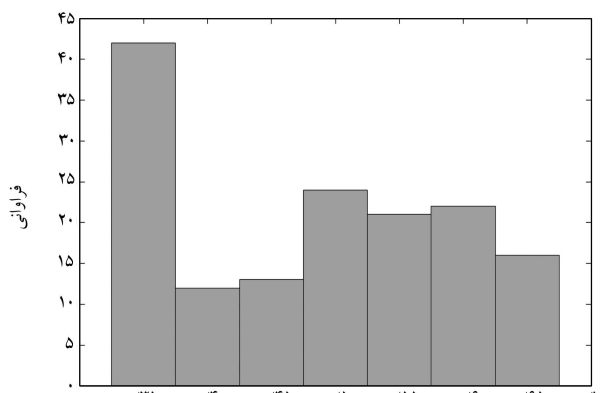
برای شبیه‌سازی جریان در شکستگی سه بعدی، از حل عددی حجم محدود معادلات ناویر-استوکس و معادله‌ی پیوستگی استفاده شده است. حل عددی معادلات ناویر-استوکس برای جریان آشفته بسیار مشکل است و به دلیل ساختارهای بسیار کوچک موجود در جریان آشفته، برای رسیدن به حل معادله باید از المان‌بندی بسیار ریز استفاده شود که این موضوع باعث افزایش شدید زمان محاسبات می‌شود. برای رفع این مشکل، از روش معادلات میانگین‌گیری شده در زمان (در این مطالعه از روش RANS<sup>۲</sup>) به همراه مدل آشفته‌ی  $\epsilon$  –  $k$  استفاده شده است.

### ۴. هندسه‌ی مدل و شرایط مرزی

یک دامنه‌ی هندسی سه بعدی از یک شکستگی مصنوعی با عرض ۳ mm و طول ۱۲,۵ mm (به ترتیب در راستای  $x$  و  $y$ ) برای شبیه‌سازی جریان سیال مورد استفاده قرار گرفته است. برای ارزیابی تأثیر دهانه و زیری سطح روی جریان سیال در داخل فضای خالی، دیواره‌ی پایین شکستگی را صاف و دیواره‌ی بالایی را خیلی زبر (شکل ۱۱(الف)) در نظر گرفته‌ایم. فضای خالی سه بعدی به صورت مجموعه‌یی از المان‌های حجمی روی صفحه‌ی  $y - x$  با فواصل یکنواخت  $\Delta x$  و  $\Delta y$  (برابر با ۰,۵ mm) و دهانه‌ی متغیر ( $z$ ) ساخته شده است. دامنه‌ی هندسی شکستگی از ۱۵۰ عدد المان حجمی (۶ ردیف و ۲۵ ستون) تشکیل شده است



الف) پروفیل سه بعدی به همراه شرایط مرزی؛



ب) فراوانی دهانه‌ی دامنه‌ی هندسی.

شکل ۱. دامنه‌ی هندسی استفاده شده برای شبیه‌سازی جریان.

عددی معادله‌ی ناویر-استوکس استفاده شده است.<sup>[۲۲-۱۹]</sup> با افزایش عدد رینولدز تأثیر جریان غیرخطی مشهودتر می‌شود، به‌گونه‌یی که عدد رینولدز بحرانی ۱۰ برابر شروع جریان غیرخطی در شکستگی‌های سنتگی پیشنهاد شده است.<sup>[۱۸]</sup> با این وجود تاکنون حل عددی معادله‌ی ناویر-استوکس برای جریان آشفته در شکستگی‌های سنتگی چندان مورد مطالعه قرار نگرفته است.

رفتار جریان سیال درون شکستگی‌ها و در مقایس میکروسکوپی با استفاده از معادلات مشتقات جزئی غیرخطی ناویر-استوکس بیان می‌شود.<sup>[۱۸]</sup> در حالت کلی حل این معادلات بسیار مشکل است و پیچیدگی هندسه‌ی شکستگی بر مشکلات کار با این روابط می‌افزاید.<sup>[۱۹]</sup> برای مدل‌سازی رفتار جریان در مقایس ماکروسکوپی، لازم است که مدل‌های ماکروسکوپی برای جریان ارائه شوند. در مدل‌های با مقایس ماکروسکوپی معمولاً از مقادیر متوسط برای پارامترهای جریان استفاده می‌شود که می‌توان این مقادیر را با استفاده از میانگین‌گیری مقادیر در مقایس میکروسکوپی به دست آورد.<sup>[۲۲]</sup> این موضوع در جریان آشفته‌ی شکستگی‌های سه بعدی کمتر مورد توجه قرار گرفته، اما در نوشتار حاضر مورد بررسی و ارزیابی قرار گرفته است.

در این مطالعه، ابتدا یک دامنه‌ی هندسی سه بعدی از یک شکستگی مصنوعی با دهانه‌ی متغیر ساخته شده است. دامنه‌ی محاسباتی برای این شکستگی سه بعدی با استفاده از نرم‌افزار GAMBIT<sup>TM</sup> تولید شده و برای شبیه‌سازی جریان سیال مورد استفاده قرار گرفته است. شبیه‌سازی جریان آشفته‌ی سیال در داخل شکستگی به صورت سه بعدی با روش حجم محدود برای بازه وسیعی از دبی جریان حجمی و با استفاده از نرم‌افزار FLUENT<sup>TM</sup> انجام شده است. مقاطع مختلف افقی و قائم در دامنه‌ی هندسی شکستگی در نظر گرفته شده و مقادیر متوسط فشار و سرعت جریان روی این مقاطع محاسبه شده است. با استفاده از این مقادیر تأثیر زبری بر جریان مورد ارزیابی قرار گرفته است.

### ۲. معادلات حاکم بر جریان

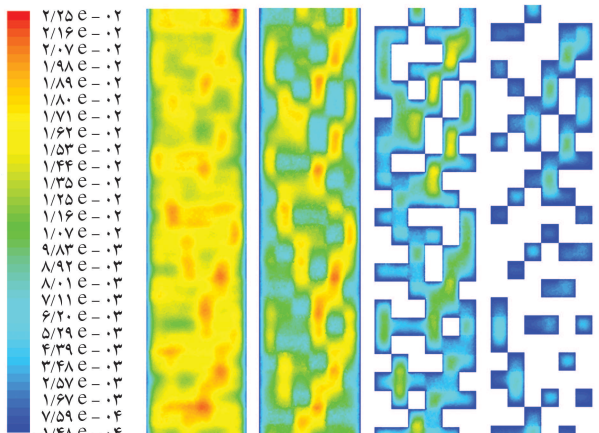
توصیف کلی جریان سیال درون یک شکستگی با استفاده از روابط ناویر-استوکس ارائه می‌شود که بیان‌گر تعادل اندازه‌های حرکت و نیرو در درون فضای خالی شکستگی است. با در نظر گرفتن جریان آرام و پایا و یک سیال نیوتونی با چگالی و گران‌روی ثابت در داخل شکستگی با دیواره‌های نفوذناپذیر، معادلات ناویر-استوکس چنین بیان می‌شود:<sup>[۲۰]</sup>

$$\rho(u \cdot \nabla^t u - \nabla p) = \mu \nabla^2 u \quad (1)$$

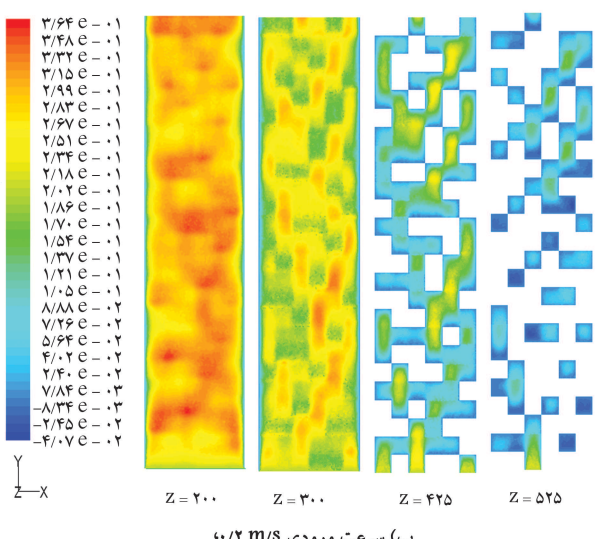
که در آن  $\rho$  چگالی سیال،  $\mu$  گران‌روی سیال،  $u$  بردار سرعت جریان و  $p$  فشار هیدرودینامیک است. رابطه‌ی ۱ از یک مجموعه معادلات مشتقات جزئی غیرخطی با درجه‌های مختلف تشکیل شده است. برای دراختیار داشتن سیستم بسته‌یی از معادلات، لازم است این معادلات را با معادله‌ی پیوستگی (که بیان‌گر تعادل جرم است) ترکیب شوند.<sup>[۱۸]</sup> برای یک سیال غیرقابل تراکم، معادله‌ی تعادل جرم با معادله‌ی تعادل حجم معادل است و به رابطه‌ی ۲ بدل می‌شود:<sup>[۲۱]</sup>

$$\nabla \cdot u = 0 \quad (2)$$

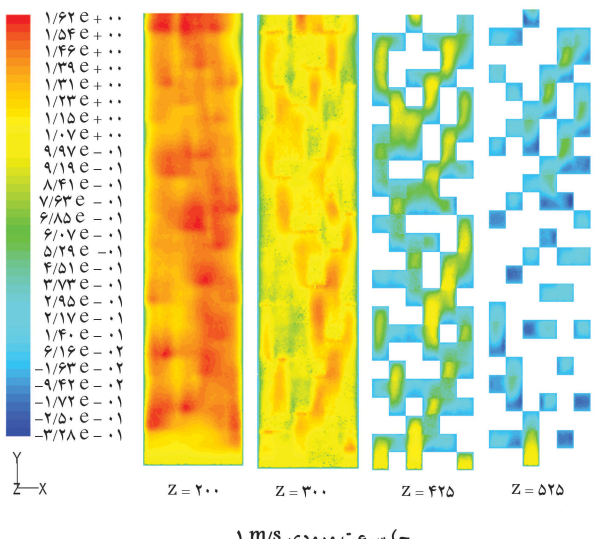
شرایط مرزی متناسب با معادلات ناویر-استوکس شامل شرایط مرزی جریان بدون لغزش<sup>۱</sup> است که بردار سرعت سیال روی مرز جامد باید با بردار سرعت مرز جامد برابر باشد.<sup>[۲۲]</sup>



(الف) سرعت ورودی  $0.1 \text{ m/s}$



(ب) سرعت ورودی  $0.2 \text{ m/s}$



(ج) سرعت ورودی  $0.5 \text{ m/s}$

شکل ۲. کانتورهای مؤلفه‌ی بردار سرعت جریان در جهت  $y$  روی مقاطع افقی با ارتفاعات  $200$ ,  $300$ ,  $425$  و  $525$  میکرومتر.

که ارتفاع هریک از این المان‌های حجمی (در راستای  $z$ ) نشان‌گر مقدار دهانه است. دهانه‌ی شکستگی از حداقل  $35 \text{ mm}$  تا حداکثر  $65 \text{ mm}$  می‌کند و مقدار متوسط و انحراف استاندارد آن به ترتیب  $48.5 \text{ mm}$  و  $10.6 \text{ mm}$  است. در شکل ۱ ب فراوانی آماری دهانه‌ی شکستگی نشان داده شده است. شبکه‌ی المان‌های محاسباتی با شکستگی  $89.000$  شبکه‌ی چهارجهه با استفاده از نرم‌افزار GAMBIT<sup>TM</sup> ایجاد شده است؛ شبیه‌سازی‌ها برای سیال آب با چگالی  $998.2 \text{ kg/m}^3$  و گرانروی  $1 \text{ kg/ms}^2$  بدون در نظر گرفتن تأثیر گرانش انجام شده است. از شرط مرزی سرعت ورودی  $3$  برای ناحیه‌ی خروجی ورودی دامنه استفاده شده است. سرعت ورودی به صورت یکنواخت و در راستای  $y$  در نظر گرفته شده، برای همه‌ی شبیه‌سازی‌های جریان آشفته «شدت آشفتگی<sup>۳</sup>» بسیار انداز و برابر  $1$  درصد فرض شده است. برای ناحیه‌ی خروجی جریان در دامنه‌ی هندسی شکستگی، از شرط مرزی جریان خروجی  $5$  استفاده شده است. بقیه‌ی سطوح جامد دامنه (مرزهای شکستگی) به صورت دیواره‌های نفوذناپذیر با شرط مرزی بدون جریان تعریف شده‌اند. شبیه‌سازی جریان در داخل شکستگی سه‌بعدی برای یک بازه سرعت ورودی از  $1 \text{ m/s}$  تا  $0.1 \text{ m/s}$  انجام شده است.

#### ۴. نتایج

در مباحث هیدرولیک، حد بین جریان آرام و آشفته با استفاده از عدد بدون بعد رینولدز تعیین می‌شود که بیان‌کننده ارتباط بین نیروهای اینرسی با نیروهای گرانرو به صورت کمی است. در این نوشتار برای محاسبه‌ی عدد رینولدز از رابطه‌ی  $3$  استفاده شده است:<sup>[۱۹]</sup>

$$\text{Re} = \frac{\rho Q}{\mu w}, \quad (3)$$

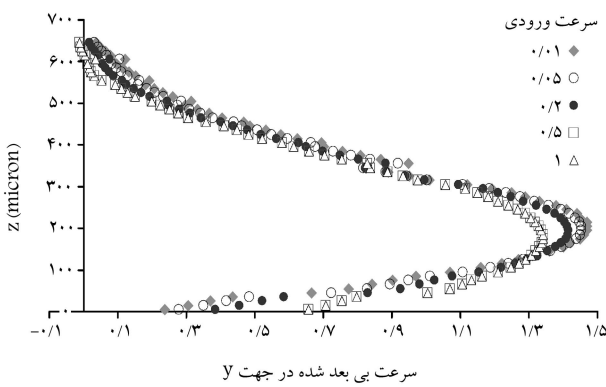
که در آن  $Q$  دبی حجمی جریان عبوری از شکستگی و  $w$  عرض شکستگی است. مقادیر رینولدز برای سرعت‌های ورودی مختلف با استفاده از رابطه‌ی  $3$  محاسبه شده و همراه با مقادیر افت فشار استاتیک ناشی از جریان سیال درون شکستگی، در جدول  $1$  آراهه شده است. چنان‌که مشاهده می‌شود مقدار رینولدز برای شبیه‌سازی‌های انجام‌شده بین  $4.5$  تا  $450$  است.

برای بررسی تأثیر زبری شکستگی و سرعت ورودی بر دامنه‌ی سرعت، کانتورهای مؤلفه‌ی  $y$  بردار سرعت به دست آمده از حل عددی جریان آشفته برای چهار مقاطع افقی با ارتفاع  $200$ ,  $300$ ,  $425$  و  $525 \mu\text{m}$  و برای سرعت‌های ورودی  $0.1 \text{ m/s}$ ,  $0.2 \text{ m/s}$  و  $0.5 \text{ m/s}$  در شکل ۲ نشان داده شده است. مقاطع افقی  $200$  و  $300 \mu\text{m}$  دیواره‌ی بالایی شکستگی را قطع نمی‌کنند و سیال در کل این مقاطع حضور دارد، ولی در مقاطع افقی با ارتفاع  $425$  و  $525 \mu\text{m}$  در بعضی از نواحی، که با چهارگوش‌های سفیدرنگ نشان داده شده، سیال وجود ندارد. کانتورهای مؤلفه‌ی  $y$  بردار سرعت برای سه سرعت ورودی  $0.1 \text{ m/s}$ ,  $0.2 \text{ m/s}$  و  $0.5 \text{ m/s}$  به ترتیب در شکل‌های ۲(الف)، ۲(ب) و ۲(ج) نشان داده شده‌اند.

برای سرعت ورودی  $0.1 \text{ m/s}$  (شکل ۲(الف)) جریان هدایت شده در همه‌ی مقاطع افقی مشاهده می‌شود ولی جریان هدایت شده در مقاطع افقی با ارتفاع  $200 \mu\text{m}$  مشهودتر است. مسیرهای جریان به‌گونه‌ی هستند که اندازه‌ی دهانه آن بیشترین و تعییرات دهانه کم‌ترین مقدار را به خود اختصاص می‌دهد. همچنین تعداد زیادی نواحی با اندازه دهانه‌ی  $600 \mu\text{m}$  و  $650 \mu\text{m}$  در مقاطع افقی وجود

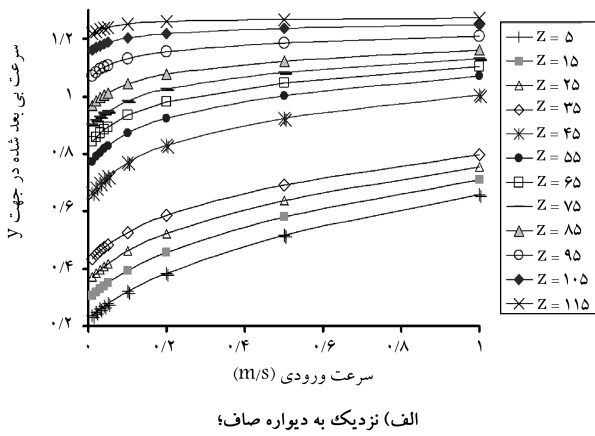
جدول ۱. عدد رینولدز به همراه افت فشار استاتیک ناشی از جریان سیال برای سرعت‌های مختلف ورودی جریان.

سرعت ورودی (m/s)	افت فشار استاتیک (Pa)	عدد رینولدز
۰,۰۱	۱۲,۱	۴,۵
۰,۰۵	۲۵,۶	۹
۰,۱۰	۴۰,۵	۱۳,۵
۰,۱۵	۵۶,۵	۱۸
۰,۲۰	۷۳,۵	۲۲,۵
۰,۲۴	۱۷۴,۳	۴۵
۰,۲۷	۳۰۲,۷	۶۷,۶
۰,۳۰	۴۴۸,۶	۹۰
۰,۳۷	۱۶۰۹,۰	۲۲۵
۰,۴۰	۴۴۸۰,۵	۴۵۰
۰,۴۷		۱

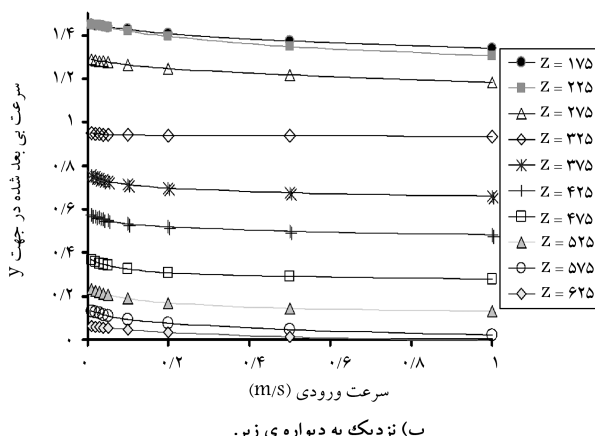


شکل ۳. تأثیر سرعت ورودی جریان و دیوارهای شکستگی روی سرعت بی بعد شده‌ی مقاطع افقی در دامنه‌ی هندسی شکستگی.

بعد از ارتفاع‌های  $50\text{ }\mu\text{m}$  و  $100\text{ }\mu\text{m}$  و ...  $400\text{ }\mu\text{m}$ ، پیک کوچک مقیاسی در مقادیر سرعت بی بعد شده مشاهده می‌شود. با افزایش سرعت ورودی جریان، بیشینه‌ی سرعت بی بعد شده از مقدار  $1/47$  برای سرعت ورودی  $1\text{ m/s}$  به گونه‌یی که بیشینه‌ی سرعت بی بعد شده با افزایش سرعت ورودی  $1\text{ m/s}$  مربوط به بیشترین سرعت بی بعد شده با افزایش سرعت ورودی کاهش یافته است به طوری که این ارتفاع از  $5\text{ }\mu\text{m}$  برای سرعت ورودی  $1\text{ m/s}$  به ارتفاع



الف) نزدیک به دیواره صاف؛

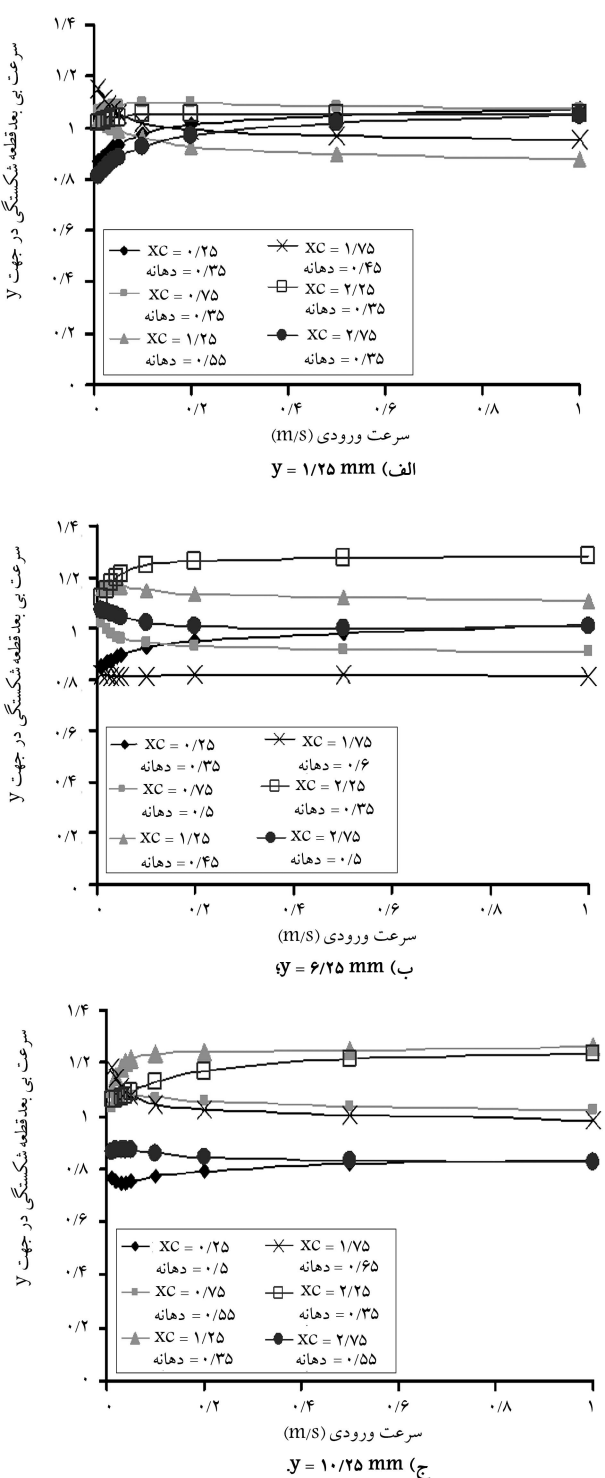


ب) نزدیک به دیوارهٔ زبر.

شکل ۴. روند تغییرات سرعت بی بعد شده برای مقاطع افقی.

دارد که سرعت آنها نسبت به نواحی با دهانه‌ی کوچک‌تر خیلی کمتر است (تقریباً سرعت این نواحی نصف سرعت در مسیر جریان است). این موضوع نشان می‌دهد که الزاماً در نواحی با دهانه‌ی بزرگ‌تر سرعت جریان بیشتر نیست، زیرا ممکن است این نواحی توسط نواحی که دهانه‌ی کوچکی دارند محدود شده باشند. همچنین با افزایش سرعت ورودی جریان، اختلاف بین مقادیر بیشینه و کمینه‌ی سرعت در مقاطع افقی کاهش می‌باید به طوری که قدر مطلق نسبت بین بیشینه و کمینه‌ی سرعت از  $1/2$  برای سرعت ورودی  $0,01\text{ m/s}$  به مقدار  $4,8/3$  برای سرعت  $0,05\text{ m/s}$  افزایش می‌باید؛ در حقیقت با افزایش سرعت ورودی جریان از شدت جریان هدایت شده کاسته شده است. در شکل ۲ و در مقاطع افقی با ارتفاع  $50\text{ }\mu\text{m}$  در بعضی از نواحی، مقدار سرعت جریان منفی است که نشان‌گر هم راست نبودن جهت جریان با جهت گردایان فشار در این نواحی است. این موضوع نشان می‌دهد که در این نواحی جریان به صورت پیچشی است. با افزایش سرعت ورودی جریان بر شدت جریان‌های پیچشی افزوده می‌شود، به گونه‌یی که قدر مطلق نسبت کم‌ترین سرعت جریان در شکستگی به سرعت ورودی، از مقدار  $148\text{ }\mu\text{m}$  برای سرعت ورودی  $0,01\text{ m/s}$  به مقدار  $328\text{ }\mu\text{m}$  برای سرعت ورودی  $0,05\text{ m/s}$  برابر است. بررسی تأثیر دیواره‌های شکستگی بر مؤلفه‌ی  $y$  بردار سرعت، تعداد  $64$  مقطع افقی با فاصله‌ی  $10\text{ }\mu\text{m}$  در داخل دامنه‌ی هندسی شکستگی در نظر گرفته شده است. در هر مقطع افقی مقدار متوسط مؤلفه‌ی  $y$  بردار سرعت برای هر یک از سرعت‌های ورودی جریان محاسبه شده است. این مقادیر نسبت به سرعت ورودی بی بعد شده‌اند و نسبت به ارتفاع مقطع در شکل ۳ رسم شده‌اند. برای سرعت  $1\text{ m/s}$   $0,05\text{ m/s}$  بیشترین سرعت بی بعد شده تقریباً در ارتفاع  $50\text{ }\mu\text{m}$  مشاهده شده است. سرعت بی بعد شده‌ی  $1/47$  برای این سرعت ورودی با بیشینه سرعت برآورده با قانون مکعب (قانون مکعب بیشترین سرعت در مقطع افقی شکستگی را  $1/5$  برابر سرعت متوسط برآورد می‌کند) تقریباً برابر است.

مقادیر دهانه‌ی توزیع شده در شکستگی به صورت مضارب صحیحی از  $50\text{ }\mu\text{m}$  و از  $35\text{ }\mu\text{m}$  تا  $65\text{ }\mu\text{m}$  هستند، و درنتیجه بین مقاطع افقی متوالی قبل و



شکل ۵. روند تغییرات مقادیر سرعت بی بعد شده نسبت به سرعت ورودی جریان برای مقاطع قائم با فاصله از ورودی جریان.

نظر گرفته شده و مقادیر سرعت بی بعد شده قطعات شکستگی موجود در هر مقاطع قائم نسبت به سرعت ورودی جریان در شکل ۵ (به ترتیب از الگ تا ج) نشان داده شده‌اند. در مقاطع قائم با فاصله ای  $1/25\text{ mm}$  از ورودی جریان، با افزایش سرعت ورودی اختلاف بین مقادیر سرعت بی بعد شده برای قطعات شکستگی با دهانه‌ی  $35^\circ$  کاوش می‌یابد و سرعت بی بعد شده این قطعات به سمت  $1\text{ mil}$  می‌کند.

$180\text{ }\mu\text{m}$  برای سرعت ورودی  $1\text{ m/s}$  رسیده است. این موضوع نشان می‌دهد که با افزایش سرعت ورودی، بیشترین سرعت بی بعد شده به دیواره با زبری کمتر نزدیک شده و از دیواره با زبری بیشتر دورتر می‌شود؛ درنتیجه پروفیل (نیمزن) سرعت نامترکننتر شده و به سمت دیواره با زبری کمتر چوله می‌شود. در شکل ۴ الگ و ۴ ب روند تغییرات سرعت بی بعد شده برای مقاطع افقی به طور دقیق تر بیان شده است. شکل ۴ الگ تغییرات سرعت بی بعد شده روی مقاطع افقی نزدیک به دیواره ای شکستگی را نسبت به تغییرات سرعت ورودی جریان و افزایش فاصله از دیواره ای شکستگی نشان می‌دهد. در مقاطع افقی نزدیک به دیواره پایینی شکستگی (دیواره ای صاف)، با افزایش سرعت ورودی جریان، مقادیر سرعت بی بعد شده روی مقاطع افقی به طور غیرخطی افزایش می‌یابد که با افزایش سرعت ورودی نزد افزایش سرعت بی بعد شده روی مقاطع افقی کاوش می‌یابد.

در مقاطع افقی واقع شده در ارتفاع  $5\text{ }\mu\text{m}$  تا  $35\text{ }\mu\text{m}$ ، با افزایش فاصله از دیواره پایینی شکستگی، مقادیر سرعت بی بعد شده تقریباً به صورت خطی افزایش می‌یابد، و بنابراین نمودارهای مربوط به این مقاطع در شکل ۴ الگ تقریباً با هم موازی‌اند. در بین مقاطع افقی با ارتفاع  $35\text{ }\mu\text{m}$  تا  $45\text{ }\mu\text{m}$  مقادیر سرعت بی بعد شده به طور ناگهانی افزایش یافته و نمودار سرعت بی بعد شده به طور ناگهانی به سمت بالا منتقل می‌شود که این تغییرات ناگهانی در سرعت بی بعد شده، برای تمامی شبیه‌سازی‌های انجام شده با سرعت‌های مختلف مشاهده می‌شود. این تغییرات ناگهانی در مقادیر سرعت بی بعد شده مربوط به تناحیه مرزی تشکیل شده روی دیواره پایینی شکستگی است که تناحیه مرزی در ارتفاع بین  $35\text{ }\mu\text{m}$  تا  $45\text{ }\mu\text{m}$  از بین رفته و درنتیجه سرعت بی بعد شده روی مقاطع افقی به طور ناگهانی افزایش می‌یابد.

شکل ۴ ب تغییرات سرعت بی بعد شده روی مقاطع افقی نزدیک به دیواره زبر شکستگی را نسبت به تغییرات سرعت ورودی جریان و افزایش فاصله از دیواره ای شکستگی نشان می‌دهد. با افزایش ارتفاع مقاطع افقی این مقاطع به دیواره ای شکستگی نزدیک تر می‌شوند و در این حالت، مقادیر سرعت بی بعد شده شدیداً کاوش می‌یابد. همچنین با افزایش سرعت ورودی جریان، سرعت بی بعد شده‌ی مقاطع افقی نزدیک به دیواره زبر شکستگی به صورت نزولی کاوش می‌یابد به‌گونه‌ی که مقدار سرعت بی بعد شده برای مقاطع افقی  $6.25\text{ mm}$  در سرعت ورودی  $1\text{ m/s}$  منفی است و سیال در این نواحی کاملاً در جهت مخالف گردانی فشار حرکت می‌کند. این موضوع نشان می‌دهد که با افزایش سرعت ورودی جریان، بر شدت جریان‌های پیچشی در شکستگی‌های زبر افزوده می‌شود. همچنین با افزایش سرعت ورودی جریان، دامنه‌ی جریان‌های پیچشی افزایش می‌یابد و گردابه‌های جریان تا فاصله بیشتری از دیواره‌های شکستگی گسترش می‌شوند.

برای بررسی تأثیر دهانه روی دامنه‌ی سرعت، تعداد ۱۱ مقاطع قائم با فاصله‌ی  $1\text{ mm}$  از هم، در داخل دامنه‌ی هندسی شکستگی، و در فاصله‌ی  $11/25\text{ mm}$ ،  $11/25\text{ mm}$ ،  $1/25\text{ mm}$ ،  $2/25\text{ mm}$  از مقاطع ورودی جریان در نظر گرفته شده است. هر مقاطع قائم از  $6$  قطعه شکستگی تشکیل شده که دهانه‌ی هر قطعه ثابت است. در هر مقاطع قائم مقدار متوسط مؤلفه ل بردار سرعت برای هر یک از قطعات شکستگی موجود در مقاطع قائم و برای سرعت‌های ورودی مختلف محاسبه شده است. مقدار متوسط مؤلفه ل بردار سرعت برای هر یک از قطعات شکستگی نسبت به سرعت متوسط جریان عبوری از مقاطع قائم (کل دبی جریان عبوری تقسیم بر مساحت مقاطع قائم) بی بعد شده‌اند. مقادیر سرعت بی بعد شده برای هر یک از قطعات شکستگی موجود در مقاطع قائم و برای هر یک از سرعت‌های ورودی جریان محاسبه شده است. سه مقاطع قائم با فاصله‌ی  $1/25\text{ mm}$ ،  $6/25\text{ mm}$  و  $10/25\text{ mm}$  از ورودی جریان در

بیشترین سرعت بی بعدشده در هر مقطع مربوط به قطعه‌ی شکستگی با دهانه‌ی  $\mu\text{m}$  ۳۵۰ است و کمترین سرعت بی بعدشده مربوط به قطعه‌ی شکستگی با بزرگ‌ترین دهانه‌ی موجود در مقطع قائم است.

برای بررسی تأثیر دهانه‌ی شکستگی بر دامنه‌ی سرعت جریان، اندازه‌ی دهانه‌ی هر قطعه‌ی شکستگی نسبت به متوسط مقادیر دهانه در هر مقطع قائم بی بعدشده است. پراکندگی مقادیر سرعت بی بعدشده قطعات شکستگی مربوط به تمامی ۱۱ مقطع قائم نسبت به اندازه‌ی دهانه‌ی بی بعدشده قطعه‌ی شکستگی و برای سرعت‌های ورودی  $1\text{ m/s}$ ,  $0,5\text{ m/s}$ ,  $0,2\text{ m/s}$  در شکل ۶ (به ترتیب الف تا چ) رسم شده‌اند. برای سرعت ورودی  $1\text{ m/s}$  مقادیر سرعت بی بعدشده پراکندگی زیادی دارند و از دست کم  $1/42$  تا  $1/54$  توزیع شده‌اند. با افزایش سرعت ورودی جریان مقادیر بیشینه و کمینه‌ی سرعت بی بعدشده به سمت ۱ نزدیک می‌شوند به‌گونه‌ی که کمینه و بیشینه مقادیر سرعت بی بعدشده برای سرعت ورودی  $1\text{ m/s}$  به ترتیب به  $0,58$  و  $1,37$  می‌رسد. همچنین مقایسه شکل ۶ نشان می‌دهد که با افزایش سرعت ورودی جریان، علاوه بر کاهش پراکندگی مقادیر سرعت بی بعدشده، نوع پراکندگی از «نامنظم» به «منتظم» تبدیل می‌شود. در مقادیر بزرگ سرعت ورودی جریان، با افزایش دهانه مقدار سرعت بی بعدشده کاهش می‌یابد که این موضوع در شکل ۶ج قابل مشاهده است.

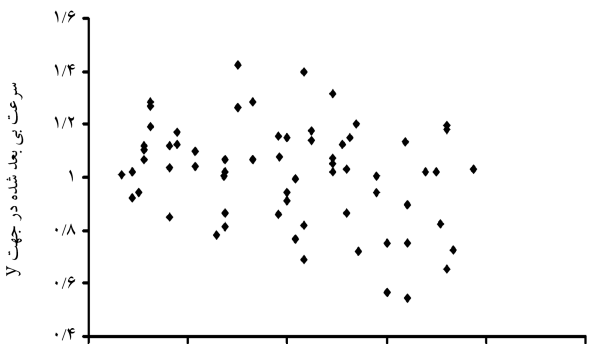
## ۵. نتیجه‌گیری

در این مطالعه، رفتار جریان آشفته‌ی سیال درون شکستگی سه‌بعدی با یک دیواره زبر به روش حجم محدود برای محدوده‌ی وسیعی از دبی جریان حجمی مورد بررسی قرار گرفته است. تأثیر زبری دیواره روی رفتار جریان سیال درون شکستگی در مقیاس ماکرو، با استفاده از میانگین‌گیری مقادیر سرعت جریان در مقیاس میکرو روی مقاطع مختلف افقی و قائم در دامنه‌ی هندسی شکستگی ارزیابی شده است.

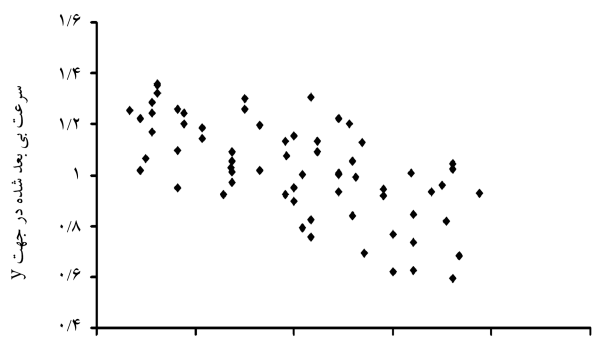
دامنه‌ی هندسی استفاده شده برای شبیه‌سازی جریان به صورت یک سطح صاف ایده‌آل و سطحی با زبری زیاد است. استفاده از یک سطح صاف این امکان را فراهم می‌کند که بتوان تأثیر زبری شکستگی روی رفتار جریان را با مشکلات کمتری نسبت به شکستگی با دو سطح زبر بررسی و تحلیل کرد. البته باید توجه کرد که شکستگی‌های واقعی از دو سطح زبر تشکیل شده‌اند و بنابراین برای تحلیل‌های دقیق‌تر رفتار جریان در شکستگی‌ها، باید هر دو سطح شکستگی به صورت زبر لحاظ شوند. همچنین به دلیل محدودیت در قدرت محاسبات، ابعاد شکستگی مورد استفاده برای شبیه‌سازی جریان نسبت به ابعاد شکستگی‌های واقعی سیار کوچک‌تر است و تأثیر عوامل مختلفی مثل تأثیر مقیاس شکستگی و انحنای شکستگی در نظر گرفته نشده است.

نتایج مطالعات انجام شده پرامون رفتار جریان درون شکستگی‌های سنگی توسط محققین مختلف<sup>[۱۷]</sup> نشان می‌دهد که با افزایش عدد رینولدز یا دبی جریان عبوری از شکستگی، تأثیر رفتار غیرخطی جریان مشهودتر می‌شود و عدد رینولدز بحرانی در سیاری از مطالعات در محدوده‌ی  $10$  تا  $15$  پیشنهاد شده است.<sup>[۱۸]</sup> درنتیجه با توجه به مقادیر عدد رینولدز محاسبه شده در این مطالعه روش شبیه‌سازی جریان آشفته انتخاب شده است.

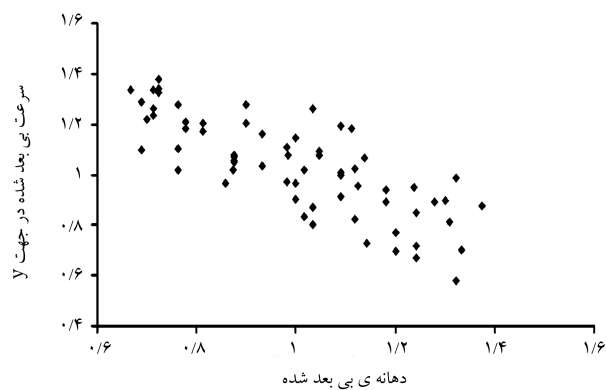
در مقادیر بزرگ عدد رینولدز شتاب‌های فضایی ناشی از انقباض و انبساط جریان درون شکستگی به دلیل تغییرات سطح مقطع شکستگی در دامنه‌ی جریان



الف) سرعت ورودی =  $40/01 \text{ m/s}$



ب) سرعت ورودی =  $40/2 \text{ m/s}$



ج) سرعت ورودی =  $1 \text{ m/s}$

شکل ۶. پراکندگی مقادیر سرعت بی بعدشده قطعات شکستگی مربوط به تمامی ۱۱ مقطع قائم نسبت به اندازه‌ی دهانه‌ی بی بعدشده قطعه‌ی شکستگی.

همچنین برای قطعات شکستگی با دهانه‌ی  $550 \mu\text{m}$  و  $450 \mu\text{m}$  روند تغییرات سرعت بی بعدشده با افزایش سرعت ورودی جریان به صورت نزولی است. در این مقطع کمترین سرعت بی بعدشده، در قطعه‌ی با دهانه‌ی  $550 \mu\text{m}$  با مقادیر سرعت بی بعدشده  $0,87$  برای سرعت ورودی  $1\text{ m/s}$  مشاهده می‌شود. در هر سه مقطع قائم (شکل ۵) به غیر از دو قطعه‌ی جانبی (قطعات مربوط به  $xc = 0,25 \text{ mm}$ ) در سرعت‌های ورودی  $0,25 \text{ mm}$  مشاهده می‌شود. در هر سه مقطع دهانه‌ی شکستگی، مقادیر سرعت بی بعدشده کاهش می‌یابد به‌گونه‌ی که

پیچشی در شکستگی‌های زبر افزوده می‌شود. همچنین با افزایش سرعت ورودی جریان، دامنه‌ی جریان‌های پیچشی افزایش یافته و گردابه‌های جریان تا فاصله‌ی بیشتری از دیواره‌های شکستگی گسترش می‌یابند. با توسعه‌ی گردابه‌های جریان در دامنه‌ی همندسی شکستگی به‌دلیل افزایش سرعت ورودی جریان، آرایش جدیدی از جریان هدایت شده درون شکستگی مشاهده می‌شود. در مقادیر اندازه‌ی سرعت ورودی جریان، مقادیر سرعت بی‌بعدشده قطعات شکستگی دارای پراکندگی است؛ با افزایش سرعت ورودی جریان، علاوه بر کاهش پراکندگی مقادیر سرعت بی‌بعدشده قطعات شکستگی، نوع پراکندگی از حالت «نانمنظمه» به «منظمه» تبدیل می‌شود به طوری که در مقادیر بزرگ سرعت ورودی جریان، با افزایش دهانه از مقدار سرعت بی‌بعدشده کاسته می‌شود.

ظاهرشده و تأثیر اینرسی در رفتار جریان مشهود می‌شود. در این حالت جریان‌های پیچشی و گردابه‌ها قابل توجه و مهم می‌شوند و انتقال انرژی در جهت مخالف با گردابان فشار ظاهر می‌شود. با نزدیک شدن مقاطع افقی به دیواره‌ی زبر شکستگی، مقادیر سرعت بی‌بعد شده شدیداً کاهش می‌یابد. با افزایش سرعت ورودی جریان، بیشترین سرعت بی‌بعدشده به دیواره با زبری کم‌تر نزدیک‌تر و از دیواره‌ی با زبری بیشتر دور می‌شود؛ درنتیجه پروفیل سرعت نامتقارن‌تر شده و به سمت دیواره با زبری کم‌تر چوله می‌شود. همچنین با افزایش سرعت ورودی جریان، سرعت بی‌بعدشده مقاطع افقی نزدیک به دیواره‌ی زبر شکستگی به صورت تزویی کاهش می‌یابد و سیال در این نواحی کاملاً در جهت مخالف گرددیان فشار حرکت می‌کند. این موضوع نشان می‌دهد که با افزایش سرعت ورودی جریان، بر شدت جریان‌های

## پابلوشت

1. no-slip
2. Reynolds-averaged navier-stokes
3. inlet velocity boundary condition
4. turbulence intensity
5. out flow
6. normalized

## منابع

1. Elsworth, D. and Goodman, R.E. "Characterization of rock fissure hydraulic conductivity using idealized wall roughness profiles", *Int. J. Rock Mech. Min. Sci. Geomech. Abstr.*, **23**, pp. 233-243 (1986).
2. Wilson, C.R. and Witherspoon, P.A. "Steady state flow in rigid networks of fractures", *Water Res. Res.*, **10**, pp. 328-335 (1974).
3. Neuzil, C.E. and Tracy, J.V. "Flow through fractures", *Water Res. Res.*, **17**(1), pp. 191-199 (1981).
4. Moreno, L.; Neretnieks, I. and Eriksen, T. "Analysis of some laboratory tracer runs in natural fissures", *Water Res. Res.*, **2**(7), pp. 951-958 (1985).
5. Silliman, S.E. "An interpretation of the difference between aperture estimates derived from hydraulic and tracer tests in a single fracture", *Water Res. Res.*, **25**, pp. 2275-2283 (1989).
6. Walsh, J.B.; Brown, S.R. and Durham, W.B. "Effective media theory with spatial correlation for flow in a fracture", *Journal of Geophysical Research*, **102**(22), pp. 587-594 (1997).
7. Tsang, Y.W. and Witherspoon, P.A. "Hydromechanical behavior of a deformable rock fracture subject to normal stress", *Journal of Geophysical Research*, **86**, pp. 9287-9298 (1981).
8. Renshaw, C.E. "On the relationship between mechanical and hydraulic apertures in rough-walled fractures", *Journal of Geophysical Research*, **100**(B12), pp. 629-636 (1995).
9. Brown, S.R. "Fluid flow through rock joints: The effect of surface roughness", *Journal of Geophysical Research*, **92**(B2), pp. 1337-1347 (1987).
10. Zimmerman, R.W.; Kumar, S. and Bodvarsson, G.S. "Lubrication theory analysis of the permeability of rough-walled fractures", *J. Rock Mech. Min. Sci. Geomech. Abstr.*, **28**, pp. 325-331 (1991).
11. Thompson, M.E. and Brown, S.R. "The effect of anisotropic surface roughness on flow and transport in fracture", *Journal of Geophysical Research*, **96**(B13), pp. 923-932 (1991).
12. Ge, S. "A governing equation for fluid flow in rough fractures", *Water Res. Res.*, **33**(1), pp. 53-61 (1997).
13. Koyama, T.; Li, B.; Jiang, Y. and Jing, L. "Numerical simulations for the effects of normal loading on particle transport in rock fractures during shear", *J. Rock Mech. Min. Sci. Geomech. Abstr.*, Article in press.
14. Brown, S.R.; Stockman, H.W. and Reeves, S.J. "Applicability of the Reynolds equation for modeling fluid flow between rough surfaces", *Geophys. Res. Lett.*, **22**(18), pp. 2537-2540 (1995).
15. Nicholl, M.; Rajaram, J.H.; Glass, R. and Detwiler, R. "Saturated flow in a single fracture: Evaluation of the Reynolds equation in measured aperture field", *Water Res. Res.*, **35**(11), pp. 3361-3373 (1999).
16. Yeo, I.W. and Ge, S. "Applicable range of the Reynolds equation for fluid flow in a rock Fracture", *Geosciences Journal*, **9**(4), pp. 347-352, (2005).
17. Oron, A.P. and Berkowitz, B. "Flow in rock fractures: The local cubic law assumption reexamined", *Water Res. Res.*, **34**(28), pp. 11-24 (1998).
18. Zimmerman, R.W. and Bodvarsson, G.S. "Hydraulic conductivity of rock fractures", *Transport Porous Media*, **23**, pp. 1-30 (1996).
19. Koyama, T.; Neretnieks, I. and Jing, L. "A numerical study on differences in using Navier-stokes and Reynolds

- equations for modeling the fluid flow and particle transport in single rock fractures with shear”, *J. Rock Mech. Min. Sci. Geomech. Abstr.*, **45**, pp. 1082-1101 (2008).
20. Zimmerman, R.W.; Al-Yaarubi, A.H.; Pain, C.C. and Grattoini, C.A. “Non-linear regimes of fluid flow in rock fractures”, *J. Rock Mech. Min. Sci. Geomech. Abstr.*, **41**(3), pp. 163-169 (2004).
21. Nazridoust, K.; Ahmadi, G. and Smith, D.H. “A new friction factor correlation for laminar, single-phase flows through rock fractures”, *Journal of Hydrology*, pp. 315-329 (2006).
22. Brush, D. and Thomson, N.R. “Fluid flow in synthetic rough-walled fractures: Navier-stokes, stokes, and local cubic law simulations”, *Water Res. Res.*, **39**(4), pp. 1085-1099 (2003).
23. Bear, J.; Tsang, C.F. and De Marsily, G., *Flow and Contaminant Transport in Fractured Rock*, Academic Press: San Diego (1993).